

دراسة استقرارية سفح سد القائم المقترن على نهر الخوسر- دراسة حالة

د . عبد الوهاب محمد يونس
f.saeed@uomosul.edu.iq

د . كامل علي عبد المحسن
k.almohseen@uomosul.edu.iq

فرح خزعل سعيد
gazaal@uomosul.edu.iq

جامعة الموصل - كلية الهندسة - قسم هندسة السدود والموارد المائية

تاريخ القبول: 10/7/2020

تاريخ الاستلام: 1/5/2020

المستخلص:

ان أحد اهم نقاط الضعف في السدود الترابية هو تسرب المياه من خلال جسم او اساسات السد مما قد يعرضه للانهيار، لذا يجب الاخذ بنظر الاعتبار تحليل هذا التسرب واستقرارية السفوح في مراحل التصميم. اجريت هذه الدراسة على سد القائم المقترن على نهر الخوسر حيث تم تحليل حالات مختلفة لمنسوب الماء في الخزان مع اجراء بعض التحويرات على المقاطع المقترن من قبل شركة SOGREAH من اجل الحصول على مقطع عرضي بديل ذو كلفة أقل وبنفس الوقت يحقق معامل امان مقبول . استخدم برنامج Geo-Studio 2012 لتحليل ثلاث حالات للسد (حالة نهاية الانشاء، الحالة المستقرة وحالة الانخفاض السريع). كما و استخدم البرنامج Seep/w ، Slope/w الملحقي بالبرنامج في تحليل التسرب والاستقرارية للمقطع المصمم وجاءت نتائج التحليل العددي مقاربة لتلك التي اوصت بها الشركة المصممة وبإعادة التحليل تبين انه بالامكان تحقيق معامل امان مقبول باستخدام مقطع محور اخر وفي نفس الوقت تقليل في حجم الامالنات بحدود 10% .

الكلمات الدالة:

السدود الترابية ،استقرارية السفوح . Geo-Studio

<https://rengj.mosuljournals.com>
Email: alrafidain_engjournal1@uomosul.edu.iq

مقدمة :

تمتاز السدود الترابية بكونها قليلة الصلابة نظراً لطبيعة المواد المستخدمة في تنفيذها وبناءها على ذلك فان مقاومتها للانهيار عادة ما تكون قليلة مقارنة بنظيراتها من انواع السدود الاخرى كالسدود الجاذبية او القوسية وغيرها. تعزى اسباب فشل استقرارية سفح السد الترابي الى خطأ في التصميم او التنفيذ او حتى طريقة تشغيل السد. وبالامكان حصر أنواع الفشل بثلاثة اسباب رئيسية: (1) الانهيار الهيدروليكي Hydraulic failure ، (2) الانهيار بسبب التسرب Seepage failure و(3) الانهيار الانشائي [1]. Structural failure

تعرض اية كتلة ترابية لها ميل يربط بين نهايتها الى جهد قص (shear stress) داخل الكتلة ويكون قريباً من ميل الكتلة. ويعزى ذلك الى قوة الجاذبية التي تحاول سحب الكتلة الترابية التي ترتبط نهايتها بميل معين نحو الأسفل، فإذا كانت قوة مقاومة القص للكتلة الترابية اكبر من قوة القص المسلط عليها فان الكتلة الترابية ستبقى مستقرة. اضف الى ذلك ان قوى تسرب الماء داخل التربة سيقل من قوة مقاومة القص للكتلة، وبالتالي ستنقلب من استقرارية السفح.

ان طريقة تخمين استقرارية السفح تتأتي من حساب معامل الامان من خلال قسمة محصلة القوى مقاومة للحركة على محصلة القوى التي تحاول سحب الكتلة الترابية نحو الاسفل.

اجري عدد كبير من الدراسات السابقة والتي تحرى استقرارية سفح السدود الترابية وامضت من الامور التقليدية التي ترافق تصميم اي سد ترابي. وفي هذا السياق فقد درس Khattab عام 2010 تحليل استقرارية سد الموصل لحالي التربة المشبعة وغير المشبعة وقام ببيان معامل الامان لإملاقيات السد اخذًا بنظر الاعتبار امكانية حدوث تفريغ سريع للمياه او عند حدوث هزة ارضية وباستخدام عدد من طرق التحليل باستخدام برنامج Geo-Studio اثنتيثلاث احتمالات لتفريغ المياه خلال (30,21,8) يوماً من خلال التحليل الانتقالي للتسرب خلال الترب المشبعة وغير المشبعة واظهرت النتائج ان الحد الانى لمعاملات الامان للمنحدرات تم حسابها بطريقتي(Bishop & Lowe-Karafiath)، واظهرت الدراسة بان الحالة الحرجة التي قد يمر بها سفح مقدم السد هي اثناء التفريغ السريع للمياه بفترة 8 ايام اذ تم تسجيل الحالة الاكثر حرجة والتي حدثت في اليوم الثاني من التفريغ على وجه التحديد [2]. قام Mandal واخرون عام 2013 بتحليل استقرارية السفح للحالتين السككية والديناميكية وكذلك عند حدوث الهزه الارضية باستخدام طريقة الدائرة السويدية وطريقة Bishop . كما وتضمنت الدراسة تحليل الاستقرار الزلالي للسفوح باستخدام طريقة Pseudo-static ، واستنتاج ان السفح كان مستقرًا بشكل تام في الحالة السككية وان عامل الامان Fos الذي تم ايجاده بالطريقة السويدية اقل من ذلك المحسوب بطريقه Bishop ، كما واستنتج

اعادة تحليل وتقييم استقرارية سفحي السد المقترن ولعدة حالات قد يمر بها الخزان مستقبلاً وان الوقت لازال متاحاً لاعادة النظر في معطيات التصميم المقترن.

هدف الدراسة:

تهدف هذه الدراسة الى ما يأتي:

1. تحليل الاستقرارية وسلامة سفحي السد باستخدام التقنيات الحديثة التي تتلخص بتطبيق البرنامج GEO-STUDIO 2012 وتقديراته وعدد مستويات متباينة من السعة التخزنية للسد الترابي قيد الدراسة وحساب معامل الامان لسفع المندحرات مقدم ومؤخر السد الترابي عند مستويات متباينة من ارتفاع عمود الماء مقدم السد.

2. ان الدراسة الحالية هي محاولة لم يتم التطرق لها اي من الباحثين السابقين وكما ورد اعلاه لتقدير المقطع العرضي الانسب من الناحية الاقتصادية وذلك بتغيير ميل سفحي السد بحيث يتحقق عامل امان ضمن المعايير المقبولة وباستخدام اساليب تحليل مختلفة يوفرها البرنامج GEO-STUDIO 2012 مما قد ينعكس على كلفة التنفيذ بمقدار لا يستهان بها.

الاساليب المستخدمة في تحليل استقرارية السفوح (خلفية نظرية):
توفر طرقتان رئيسيتان لغرض تحليل استقرارية السفوح هما: Limit Equilibrium Method (LEM) و Finite Element Method (FEM) بين هاتين الطريقتين يتلخص بأن FEM تعتمد على تطور اداء الحواسيب في التحليل الجيوتفني بينما LEM تكون اكثر بساطة ودقة [8]. كما ان طريقة FEM تتضمن ايجاد السطح الحر الجاف تلقائياً باستخدام البرامج الحاسوبية في حين ان طريقة LEM تبني البحث عن السطح الحر الجاف باستخدام الطرق الهندسية [8].

اضف الى ذلك فان FEM تستخدم علاقة stress-strain للترابة بينما تستخدم LEM Mohr-Coulomb نمذجة LEM فقط. وان FEM بامكانها حساب الا زاحة displacement حين لا يتم حسابها بطريقة LEM، كما ان الطريقة FEM بامكانها تمثيل الفشل الترديجي بينما لا تستطيع LEM تمثيل هذا الفشل. تتمحور هذه الدراسة على تطبيق معادلات طريقة LEM كونها تصلح في تحليل ثلاث حالات حرجة يمر بها خزان السد الترابي هي:(1)نهاية الانشاء (2) الحالة المستقرة (3)الانخفاض السريع.

فرضيات طريقة التوازن المحدد :

1. تفترض طريقة LEM بان نظام الجهد stress system يكون ثالث الابعاد وان الجهد بالاتجاه الثالث (عمودي على مقطع كلة التربة) متساوياً للصفر.
2. تفترض بان متغيرات الجهد الخاصة بمواصفات التربة C و Ø معلومة.
3. تفترض بان حالة التسرب وارتفاع مستوى الماء معلوم وبالإمكان حساب ضغط مسام الماء Pore Water Pressure.
4. تفترض ان يكون الفشل على امتداد السطح الحر.
5. اعتقاداً على طريقة التحليل يتم وضع بعض الافتراضات الاضافية المتعلقة بكمية وتوزيع القوى على السطوح المختلفة.

طرق التحليل المعتمدة في التوازن المحدد Limit Equilibrium

Swedish slip circle method	.1
Ordinary Method of Slice	.2
Modified Bishop's method	.3
Spencer method	.4

وان السفح يصبح غير مستقر تدريجياً في المنطقة الاكثر عرضة للزلزال [3].

اجرى Gopal واخرون عام 2014 بحثاً حول تحليل استقرارية السفوح والتسرب للسد الترابي لخزان Nandyal في الهند باستخدام برنامج SEEP/W واعتمدوا اشكال مختلفة للشبكة (mesh) المقترنة لدراسة مقطع السد تتلخص بأربعة انواع (خش، متوسط، ناعم وغير مشبع). كما وتم استخدام برنامج SLOPE/W لتحليل استقرار هذا السفح وباستخدام طرق مختلفة من التحليل وقد تبين بان طريقي Bishop و Ordinary method of slice اعطتا الحد الانى لقيمة معامل الامان الذي يعبر عن استقرارية سفح السد [4].

في العام 2015 قام Burman واخرون بإجراء دراسة مقارنة بين طريقة تحليل سفع المندحرات التقليدية وبين طريقة العناصر المحددة حيث استخدم تقنيات التوازن المحدودة (Limit Equilibrium Technique) التي تشمل طرق (Morganstern-price ، Spencers' Bishop's slice method) وكذلك طريقة العناصر المحددة FEM لدراسة مشكل استقرار السفح المختلفة ولاحظوا ان Ordinary slice method تعطي اقل معامل امان من بقية الطرق المستخدمة لذلك فان اي تصميم يعتمد هذه الطريقة سيكون اكثراً اماناً بمتقارنة FoS التي تم الحصول عليها باستخدام FEM مع القيم التي تم الحصول عليها باستخدام طرق Limit Equilibrium ووجد انه في طريقة FEM فان معامل الامان يتم الحصول عليه مباشرة لسطح الانزلاق الحرج اما في حالة LE فينبغى تطبيق العديد من سطوح الانزلاق للحصول على سطح الانزلاق الحرج [5].

قام Kirra واخرون في عام 2015 بدراسة تحليل التسرب واستقرارية السفوح للسدود الترابية حيث تم استخدام نموذج للعناصر المحددة FEM لمحاكاة تحليل التسرب والجهد من خلال برنامج Geo-Studio وتم تحليل سطح التسرب phreatic (line) وتوزيع الضغط المسامي للماء وتغير الارتفاع الهيدروليكي الكلي للسد وتم التتحقق من نتائج النموذج واستخدامه لتحليل تسرب واستقرار سد متولى في العراق، اذ تم اعتماد ثلاث حالات مختلفة من التشغيل : عند نهاية الانشاء قبل ملي الخزان، حالة التسرب المستقرة وحالة السحب السريع من الخزان.

اكتد نتائج التحليل لهذه الدراسة على سلامه سد متولى ضد التسرب واستقرار السفوح في جميع حالات التشغيل واظهرت ان حالة السحب السريع هي حالة التشغيل الحرجة مقارنة بحالات التشغيل الأخرى [6].

قدم Mishal واخرون عام 2018 بحثاً حول استخدام برنامج Geo-Studio لتحليل استقرارية السدود الترابية لحالات مختلفة لسد العظيم في محافظة ديالى/العراق كدراسة حالة M-، Bishop، Ordinary slice (line) واستخدم طرق تحليل مختلفة (Equilibrium) ومن خلال التحليل البعدى للمتغيرات المتوفرة استنتج انه يمكن استخلاص المعادلات التجريبية من خلال افتراض ظروف التربة المختلفة في جسم السد الترابي ويمكن ان تمثل المعادلة التجريبية العامة جميع المعادلات التجريبية المشتقة لأن الاختلاف في قيم FoS المحسوسة ليست عالية [7].

بينت الدراسات السابقة بان المشكلات التي يجب مراعاتها في التحليل والحساب هي تحليل استقرارية السفوح اثناء وبعد اكمال بناء السد لسفحي مقدم ومؤخر السد وتحليل حالة التسرب المستقرة لميل المقدمة والمؤخر وكذلك تحليل سلوك السد للانخفاض المفاجئ في مستوى المياه في الخزان.

دوات الدراسة:

بالنظر لكون سد القائم على نهر الخوسر هو قيد التخطيط والتصميم ولم ينفذ بعد، فقد اقترحت هذه الدراسة لغرض

الجدول (1) يلخص القوى والعزوم المعتمدة في كل طريقة.

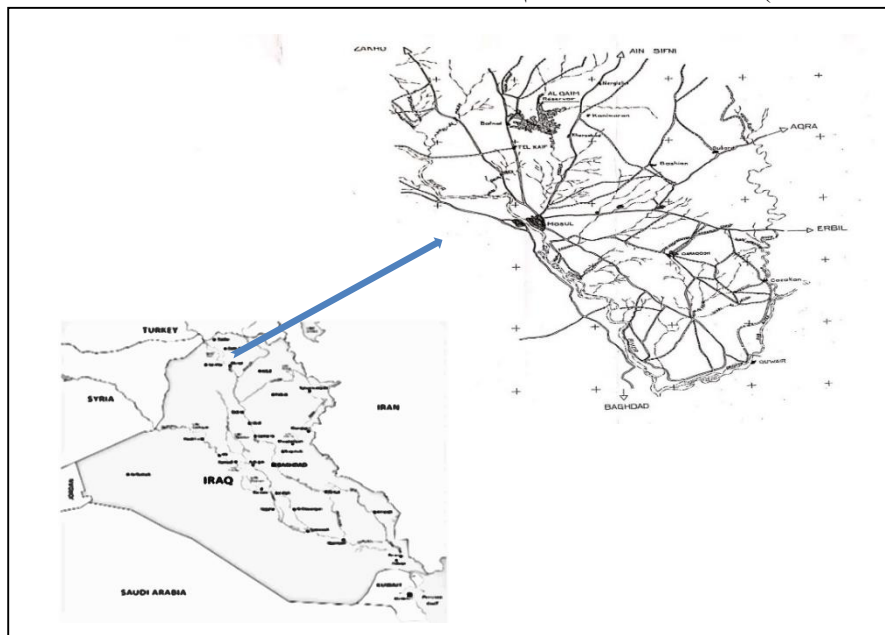
Janbu's simplified method	.5
Morgenstern-Price	.6

الجدول 1: القوى والعزوم المعتمدة للطرق المختلفة.

Method 1	Moment equilibrium 2	Force equilibrium 3	Inter-slice normal force 4	Inter-slice shear force 5	Relationship between 4&5
Ordinary	Yes	No	No	No	No interslice force
Bishop	Yes	No	Yes	No	Horizontal
Janbu	No	Yes	Yes	No	Horizontal
Spencer	Yes	Yes	Yes	Yes	Constant
M-P	Yes	Yes	Yes	Yes	Variable

اعتماد فترة عودة لعرض تصميم المضيل المائي مقدارها 1000 سنة (وبنطريق مقداره $2400\text{m}^3/\text{s}$) [9].
ان الهدف من انشاء هذا السد وكما ورد في تقرير الشركة المصممة هو تخفيف حدة الفيضان وحماية الأرضي الزراعية ومدينة الموصل عند حصول فيضان في وادي الخوسر كذلك خزن كمية من المياه لأغراض الري بالإضافة الى تغذية منطقة الشلالات السياحية بالمياه [9].

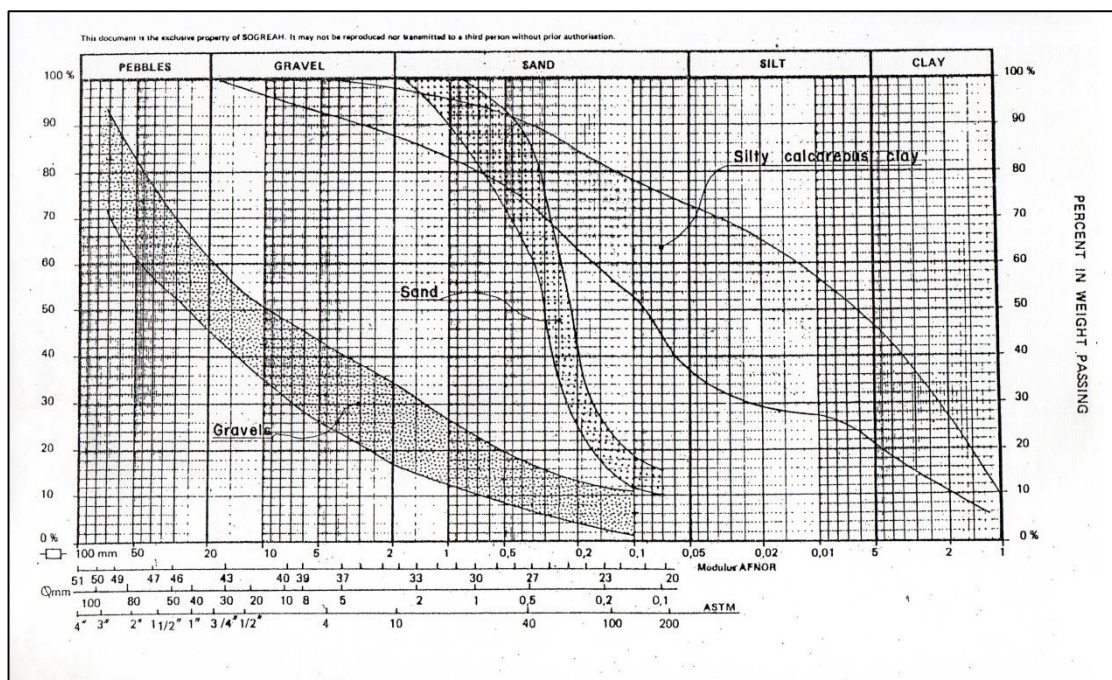
سد القائم (دراسة حالة) :
يقع سد القائم المقترن على نهر الخوسر (الذي يتدفق من الروافد الموسمية التي تصب في الجهة اليسرى من نهر دجلة) على بعد 18 كم شمال مدينة الموصل، والشكل (1) يبين الموقع الجغرافي للسد. يبلغ ارتفاع السد 31 متراً من منسوب 280 متراً فوق مستوى سطح البحر وطوله 1750 متراً وهو من النوع ترابي املائى متجانس من المواد المتوفرة في المنطقة مع وجود مرحى مائل لتسهيل عملية مرور المياه التي تخترق جسم السد ويقدر حجم الخزين للسد بـ 150 مليون متراً مكعب واعلى فيضان متحمل (بفترة عودة مقدارها 10000 سنة) هو $3400 \text{ m}^3/\text{s}$ بينما تم



الشكل (1) موقع سد القائم المقترن على نهر الخوسر

ويكون من النوع المتجانس . الشكل (2) يوضح توزيع الحبيبات المكونة للترابة المزمع تنفيذ جسم سد القائم الذي يخضع للتحليل في هذه الدراسة . بينما يتشكل أساس السد من طبقة بسمك (9-18) متراً تربة من نوع silty clay والتي سيقام عليها السد مباشرة وتليها طبقة من نوع Marls & silty marls بسمك 36 متراً وهي طبقة قوية وغير فاذة [9].

تحليل الإستقرارية لسد القائم المقترن:
قامت الشركة الفرنسية SOGREAH 1982 بعمل دراسة لإنشاء سد القائم من الناحية الجيولوجية والهيدرولوجية وتم تحديد موقع السد والمواد التي تكون جسم السد ومواقع اخذ التربة حيث ان التربة من نوع Silty calcareous clay هي التربة المتوفرة بكثرة في المنطقة وهي التي سوف ينشأ منها جسم السد



الشكل (2) توزيع حبيبات التربة المزمع تكوين السد منها [9]

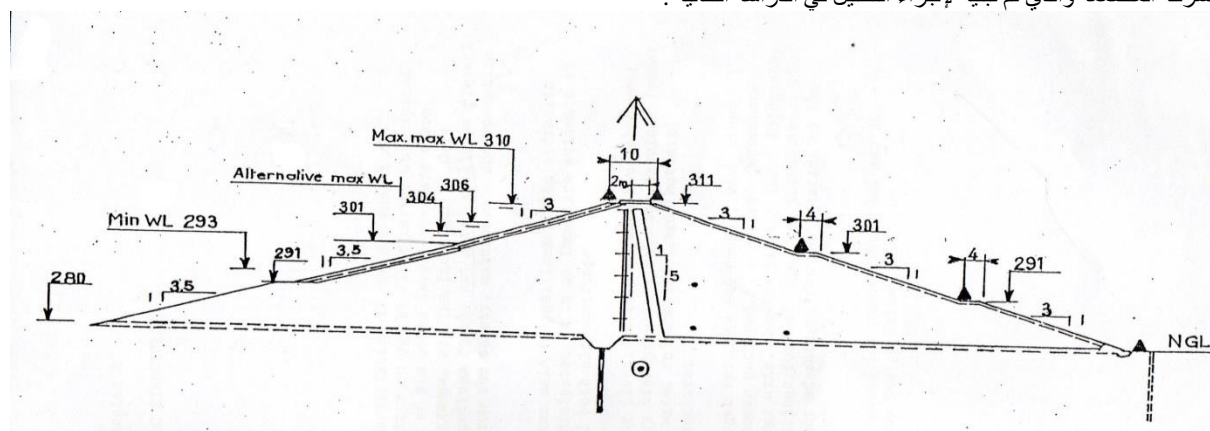
ادناه يلخص النتائج التي تم الحصول عليها والتي تبين خصائص التربية والمعتمدة في التصميم (أخذت معلومات هذا الجدول من التقرير التصميمي للشركة وتم جمعها بشكل جدول).

تم فحص 30 نموذج لترية الموقع من قبل الشركة المصممة واجريت الفحوصات المختبرية الازمة للحصول على مواصفات الترب المستخدمة في انشاء السد واساساته والجدول(2)

جدول 2: خصائص التربة المزمع تكوين السد منها

Material	Total unit wt. (kN/m ³)	Saturated unit wt. (kN/m ³)	Total stress		Effective stress		K (m/s)	O.M.C %	Natural M.C %
			C (kPa)	Ø (°)	Č (kPa)	ø (°)			
Embankment	19.8	20.3	37	17	13	24.8	1×10^{-9}	21.8	17.8
Drain system	19	21	---	35	---	35	5×10^{-5}	13	5
Riprap	17	20.5	---	35	---	35	---	---	---
Foundation	19.8	20	29	19.5	12	26.8	1×10^{-10}	---	17.1

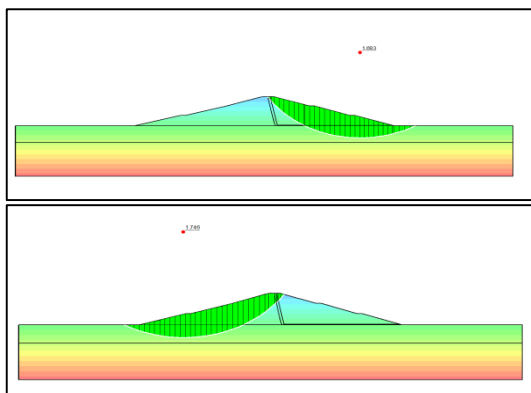
الشكل (3) أدناه يوضح المقطع العرضي المقترن للسد من قبل الشركة المصممة والذي تم تبنيه لإجراء التحليل في الدراسة الحالية.



[9] الشكل(3) المقطع العرضي لسد القائم والمقترح من قبل شركة SOGREAH

الترب اولا باستخدام seep و من ثم تحليل استقرارية الميول باستخدام slope وحساب معامل الامان للحالات المختلفة ويستخدم بعض طرق التحليل المتاحة في البرنامجه ومقارنة نتائج

تم تمثيل حالات السد (حالة نهاية الانشاء، الحالة المستقرة وحالة التفريغ السريع) باستخدام برنامج Geo-Studio 2012 حيث تم تحويل بيانات seep/w في studio2012



الشكل (4) مقطع نموذجي لحساب عامل الامان وتمثيل سطح الانزلاق لحالة نهاية الانشاء باستخدام البرنامج Geo-studio2012

يتبيّن من الشكل (4) أعلاه بان الفشل الحاصل في هذه المرحلة من التحليل هو فشل دائري (circular failure) و يحدث هذا النوع في الترب المتجانسة ونوع هذا الفشل هو Base failure وهو يمتد الى جزء من طبقة الاساس و تحدث هذه الحالة عندما تكون تربة الأساس ضعيفة نوعاً من مما يؤدي الى مرور قوس الفشل فيها [11] ، ومع ذلك فان معاملات الأمان للسد في هذه الحالة من التحليل ضمن الحدود المقبولة للسد امين من ناحية الانزلاق.

الحالة المستقرة Steady State

تبدأ حالة التسرب الثابت عندما يكون الخزان ممتلأً بعض الوقت حيث تكون التربة اسفل خط الجريان العلوى (phreatic line) في حالة تشبع بالكامل. يجب تحليل هذه الحالة من حيث الضغط الفعال وتحديد قيمة ضغط الماء من شرطة الجريان ويكون سطح السد الخلفي (D/S) هو الحرج في هذه الحالة ويجب ان لا يقل معامل الامان عن 1.5 [10].

تم تمثيل حالة السد في الوضع المستقر وتحليل التسرب اولاً بواسطة w/w للحصول على phreatic line ومن ثم تحليل استقرارية الميل. اعتمد هذا التحليل منسوب الماء في الخزان مساوياً لـ 306 وهو المنسوب الذي اعتمده الشركة المصممة في تحليلها على اعتبار ان اعلى منسوب (310) حالة نادرة الحصول . تم تحليل الاستقرارية لمنسوب 306 اولاً لأجل مقارنة النتائج وايضاً تم تحليل المنسوب 310. الجدول (4) ادناه يوضح نتائج التحليل للمنسوبين المذكورين.

البرنامج مع النتائج التي تم طلب اعتمادها من قبل الشركة المصممة.

حالة نهاية الانشاء End of Construction

تحدث معظم حالات الفشل في اوجه السد اما اثناء الانشاء او في نهايته يتم بناء جسم السد بطبقات تحتوي على تربة Optimum moisture content ويكون جسم السد متancock بسبب وزن هذه الطبقات المحولدة، ويعتمد ضغط ماء المسام pwp على المحتوى الرطبوى للتربة وعلى معدل سرعة الانشاء حيث ان الانزلاق السريع سببى الى ضغط مسامي عالي في مرحلة نهاية الانشاء لذلك يجب ان تكون فترة بناء السد طويلة بما يكفى للسماح بالتبديد الجزئي لضغط مسام الماء الزائد خاصة بالنسبة للسد ذي التصريف الداخلى يتم تحليلاً الاجهاد الكلى في هذه المرحلة والذي يعطى تصميم اكثر تحفظاً وتصل قيمة عامل الامان الى حدود 1.3 [10].

تم تمثيل حالة السد في مرحلة نهاية الانشاء واجري التحليل باعتماد بعض طرق التحليل المتاحة في برنامج Geo-Studio 2012 ووضعت النتائج في الجدول (3) ادناه:

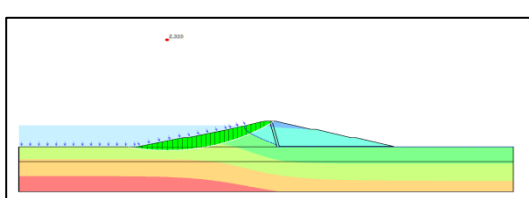
جدول 3 : قيم معامل الامان لسفحي السد المحسوبة بطرق مختلفة

Method	FoS U/S	FoS D/S
Bishop	1.74	1.69
Ordinary	1.57	1.51
M-P	1.75	1.69
Spencer	1.75	1.69
Janbu	1.55	1.51

وبمقارنة قيمة معامل الامان الواردة في تقرير الشركة التي اعدت التقرير التخطيطي لسد القائم المقترن والذي اعتمد فيه طريقة Bishop في التحليل لحساب قيمة عامل الامان اسفل السد (FoS D/S) لحالة نهاية الانشاء اذ وجدت ان $FoS = 1.59$ وهي مقاربة لقيمتها التي تم ايجادها بالبرنامج Geo-studio2012 وهي مقاربة لقيمتها التي تم ايجادها بالبرنامج Geo-studio 2012 اياً و كانت (1.69). ان الشكل (4) يري تمثيل مقطع السد لحالة نهاية الانشاء في برنامج Geo-studio2012.

جدول 4: يوضح نتائج تحليل الحالة المستقرة

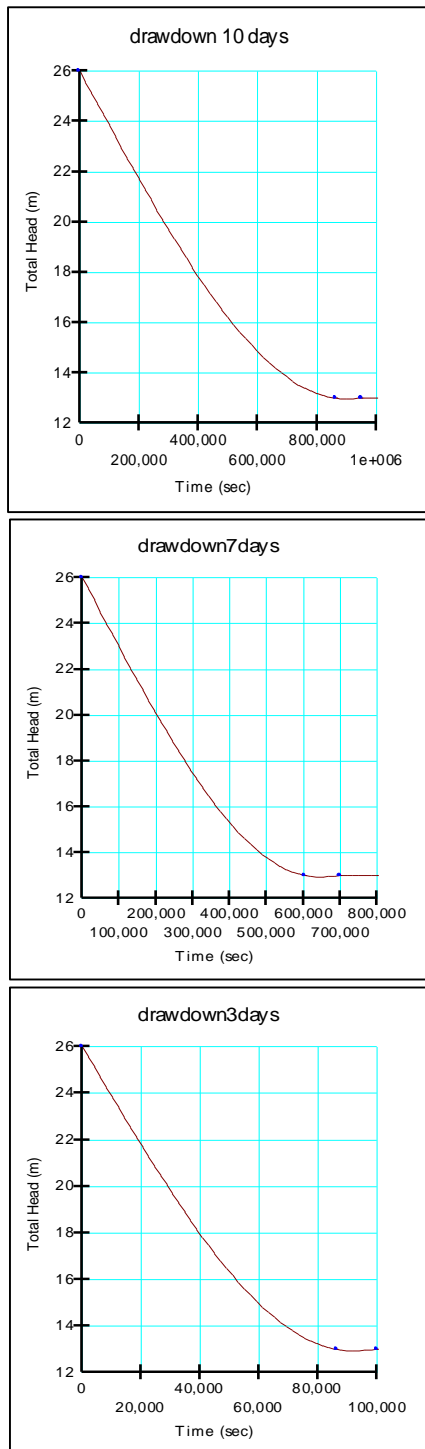
Used Method	306 m المنسوب		310 m المنسوب	
	FoS U/S	FoS D/S	FoS U/S	FoS D/S
Bishop	2.33	1.82	2.47	1.84
Ordinary	2.17	1.67	2.39	1.67
M-P	2.34	1.82	2.47	1.84
Spencer	2.34	1.82	2.47	1.84
Janbu	2.21	1.67	2.39	1.67



شكل (5) معامل الامان للحالة المستقرة U/S لمنسوب 306m باستخدام البرنامج Geo-Studio 2012

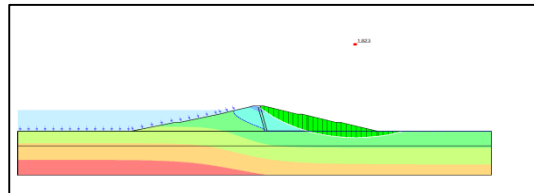
يتبيّن من الجدول أعلاه زيادة في قيمة معامل الأمان في السفح الامامي للسد مع زيادة منسوب الماء والسبب في ذلك ان زيادة مستوى الخزين سبب زيادة في ضغط الماء باتجاه جسم السد اي زيادة في القوة المساعدة على تثبيت السد وهذا يزيد من استقرارية السفح الامامي مع ثبات كافة المتغيرات الأخرى.

كانت نتائج الشركة المصممة لحالة منسوب 306 m وبطريقة Bishop هي $FoS D/S=2.08$ و $FoS U/S=2.08$ ادناه تبيّن نتائج التحليل لمقدم ومؤخر السد على التوالي.



شكل (8) دوال انخفاض مستوى الخزان لفترات (10، 7، 3) أيام

تم اجراء تحليل وحساب معامل الامان لسفح السد الامامي لثلاث فترات من زمن التفريغ وتبين بان السد امين للانخفاض السريع حتى لو كان زمن التفريغ ثلاثة ايام والسبب في ذلك ان نفاذية السد قليلة (10×10^{-9}) وان التربة تأخذ وقت طويل لكي تنتقل من حالة التشبع الى عمه والشكل (9) ادناه يوضح علاقة معاملات الامان مع زمن التفريغ .

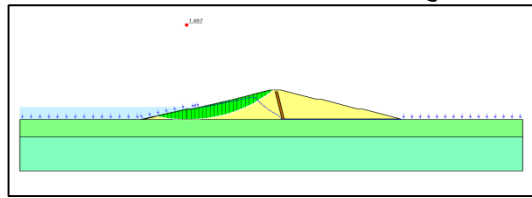


شكل (6) تحليل معامل الامان للحالة المستقرة D/S للمنسوب 306m باستخدام البرنامج Geo-studio2012

تبين نتائج التحليل أعلاه بان الفشل الحالى في السد أيضا من النوع الدايرى (circular failure) وأيضا من النوع (base failure) وذلك لأن السد متاجنس وتربة الأساس ضعيفة الى حد ما ومع ذلك فقيم معاملات الأمان ضمن الحدود المقبولة .

Rapid drawdown

يؤدي السحب السريع لمياه الخزان (التفريغ السريع) بعد حالة التسرب الثابت steady state الى تغير في توزيع ضغط الماء المسامي pwp . اذا كانت نفاذية التربة منخفضة فقد تكون فترة السحب التي تقاس بالاسابيع سريعة فيما يتعلق بالضغط الماء المسامي . يكون تحليل هذه الحالة بالاعتماد على الضغط الفعال لحساب معامل الامان لأي موضع من خط التشبع [10] . في حالة الانخفاض السريع يتم اولاً تحليل التسرب للحالة المستقرة steady state وذلك للحصول على الحالة الاولية لضغط مسام الماء في التربة ومن ثم تمثيل نفس الحالة ولكن بنوع تحليل مختلف وهو الانتحالي transient analysis فيما يتعلق بالضغط الماء المسامي في الحالة المستقرة ومن ثم اضافة دالة جديدة في المحددات (Boundary Conditions) وهي دالة الانخفاض السريع من منسوب 306 الى منسوب 293 الذي هو اوطنى منسوب المياه الخزان وخلال فترة (3,7,10) ايام للتفريغ وحساب معامل الامان لكل حالة ، تم اعتماد طريقة Bishop لتحليل الاستقرارية لمقارنة النتائج مع التقرير والشكل (7) يوضح حالة السد في اليوم العاشر للتفريغ.

شكل (7) استجابة الخزان للانخفاض السريع لفترة عشرة أيام .
Geo-studio 2012 باستخدام برنامج

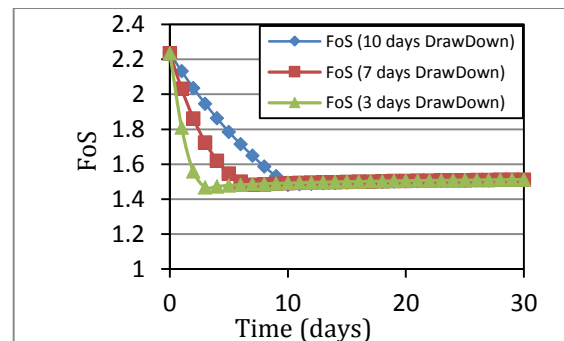
يبين الشكل (7) أعلاه الفشل الحالى في سفح السد الامامي في اليوم الأخير من التفريغ ويتبين من شكل خط الرشح الناتج من التحليل ان جزيئات الماء تحتاج وقت طويل لكي تنتقل من مكان الى اخر أي من منطقة الضغط العالى الى الضغط الاوسط الذى يحدث في حالة الانخفاض السريع بسبب كون التربة ذات نفاذية قليلة جدا وكذلك وقت التفريغ سريع .

دالة الانخفاض المستخدمة في التحليل هي عبارة عن علاقة بين ارتفاع الماء مقام السد مع الزمن يتم تكوينها في البرنامج من خلال إعطاء قيمة لعمق الماء قبل الانخفاض أي عند الزمن صفر وبعد زمن من الانخفاض أي الزمن المحدد للتفریغ والشكل (8) يبيّن هذه الدوال .

جدول 6: قيم معاملات الامان المحسوبة والتصميمية

Case	FoS	1982	Present study
End of construction	D/S	1.59	1.69
Steady state	U/S	2.08	2.33
	D/S	1.79	1.82
Sudden Draw Down(10 days)	U/S	1.33	1.48

يتبيّن من الجدول أعلاه التقارب في نتائج التحليل بين الشركة المصممة وبين البرنامج المستخدم مما يدل على مدى مقبولية النتائج التي تم الحصول عليها والتي سوف تستخدم لاحقاً لغرض إيجاد مقطع بديل أقل كلفة. الجدول (7) أدناه يبيّن طرق التحليل المستخدمة مع الحالات المختلفة لسد القائم:



شكل (9) دالة الزمن ومعامل الامان لحالات الانخفاض السريع للفترات (10، 7، 3) أيام

تم تحليل استقرارية الميول لمنحدر مقدم السد باعتباره الأكثر تأثراً في حالة الانخفاض السريع بطرق التحليل المختلفة وكانت النتائج (الليوم العاشر) موضحة بالجدول (5) وكالاتي:

جدول 5: معامل الامان لليوم العاشر

Method Used	FoS U/S
Bishop	1.48
Ordinary	1.38
M-P	1.48
Spencer	1.49
Janbu	1.38

الجدول (6) أدناه يوضح القيم المحسوبة بالبرنامج لمختلف الحالات والقيم المبينة بالقرير المعد من قبل الشركة المصممة التي اعتمدت طريقة Bishop للتحليل.

الجدول 7: معاملات الامان بطرق تحليل مختلفة وحالات مختلفة لسد

Method for analysis	Case 1		Case 2		Case 3
	End of construction		Steady state		Rapid drawdown
	U/S	D/S	U/S	D/S	U/S
Minimum required computed safety factor	1.25	1.25	1.5	1.5	1.25
Bishop	1.74	1.69	2.33	1.82	1.48
Ordinary	1.57	1.51	2.17	1.67	1.38
M-P	1.75	1.69	2.34	1.82	1.48
Spencer	1.75	1.69	2.34	1.82	1.49
Janbu	1.55	1.51	2.21	1.67	1.38

تم اعتماد طريقة Bishop في حساب معاملات الامان نظراً لتنبئي هذه الطريقة من قبل الشركة المصممة لكي يتم ضمان قاعدة للمقارنة.

بعد اجراء التحليل لعدة ميول ولحالات مختلفة لسد اقل ميل من بين هذه الميول ممكن ان يعطيها عامل امان مقبول كان 1:3 لسطح مقام السد و 1:2.5 لسطح مؤخر السد حيث تم تحليل الحالات الثلاث لهذا الميل وتبين بانها تعطي معامل امان مقبول وضمن المعايير المطلوبة وبنفس الوقت تكون قد قللنا من حجم السد بحدود 10% من الحجم الأصلي وما لها العامل من اثر مهم من الناحية الاقتصادية وكذلك تم حساب كمية التصريف المارة خلال جسم السد واساسه وكانت $3.82e-8 \text{ m}^3/\text{s/m}$ والجدول (8) يوضح معاملات الأمان للميول التي تم تحليلها.

وبمعرفة كلفة المتر المكعب الواحد في المكان تصوّر مقدار التوفير المالي الذي وفره هذا التحويل البسيط والذي يفي بالمتطلبات الفنية والاقتصادية التي تعتبر العمود الفقري لاي مشروع هندي. من الجدير بالذكر انه عندما تم تبني الميل 1:3.5

يتضح من نتائج هذا الجدول بان تحليل استقرارية سد القائم ولحالات مختلفة وبالطرق المختلفة يعطينا نتائج جيدة واعلى من الحد الأدنى لقيم معاملات الأمان المطلوبة وبذلك نستطيع ان نقول بان السد آمن من ناحية الانزلاق لحالات الثلاث.

فحص الجدوى الاقتصادية عند تغيير الميول:

تركز الدراسة الحالية على دراسة جدوى زيادة ميول اكتاف السد موضوع الدراسة لغرض بيان الفائد الاقتصادية من تلك العملية بشرط ان تبقى عوامل الامان تفي بالغرض التصميمي. وبناءً على ذلك فقد تم اجراء عدة محاولات لتجربة ميول جديدة اكبر من الميلين التصميميين التي اوصت بها الشركة المصممة وهما 1:3.5 U/S و 1:3 D/S . الجدول(8) يلخص قيم معاملات الامان التي تم الحصول عليها عند تغيير الميول ولحالات الخزان الثلاث. بين الصف الثاني من الجدول قيم معاملات الامان التي يجب ان لا يقل عنها معامل امان المحسوب اذا ما يريد ان تكون سفوح السد مستقرة.

اقل من القيمة الدنيا المعطاة في المعايير والبالغة (1.5) لذلك تم استبعاد هذا الميل.

لسفح مقدم السد والميل 1:2 لسفح مؤخر السد ولحالة السد المستقرة steady state تم الحصول على عامل امان مقداره (1.33) وهو

الجدول 8: قيم معاملات الامان عند تغيير ميل سفح السد لحالات الخزان الثلاث

U/S slope	D/S slope	Steady state		End of construction		Rapid drawdown (10 days)
		FoS U/S	FoS D/S	FoS U/S	FoS D/S	FoS U/S
Min Required FoS criteria		1.5		1.25		1.25
3.5	3	2.33	1.82	1.74	1.69	1.48
3.5	2.5	2.25	1.62	1.74	1.55	1.50
3.5	2	2.25	1.33	1.74	1.41	1.40
3	3	2.07	1.84	1.63	1.69	1.33
3	2.5	2.06	1.62	1.63	1.55	1.33

ان تقليل الميل من 1:3.5 لسفح مقدم السد كما اقترحته الشركة المصممة الى الميل 1:3 وتغيير الميل 1:3 لسفح مؤخر السد الى الميل 1:2.5 يفي بمتطلبات الامان لحالات الخزان الثلاث التي يمكن ان يمر بها الخزان المائي ، علما ان التوفير في حجم الاملاكيات الترابية قد بلغ 613375 m^3 اي ما يقارب 10% من الحجم الاصلی مما له اثر اقتصادي واضح. كما وافزرت النتائج بان السد آمن من ناحية التفريغ السريع حتى وان كانت الفترة مقصرة على ثلاثة ايام فقد اعطت قيمة معامل امان مقداره 1.28 باستخدام طريقة Bishop وهو ضمن الحدود المقبولة كذلك.

الاستنتاجات:

بينت النتائج التي تم الحصول عليها من تحليل الحالات المختلفة للسد وبميول مختلفة بان البرنامج Geo-Studio 2012 كان ذا اداء حسن في حساب معاملات الامان لسفحي سد القائم المقترن. لقد تبين ان افضل ميل لسفح السد الامامي هو 1:3 وللسفح الخلفي 1:2.5 حيث اعطى معاملات امان مقبولة كما ووجد ان كميات المياه المتتسربة والتي تقدر بـ $3.82e-8 \text{ m}^3/\text{s}/\text{m}$ هي ضمن الحدود المسموح بها للكيابات المتسربة [9]. تحررت الدراسة الحالية امكانية عمل دراسة جدوى اقتصادية وذلك بمحاولة تقليل ميول سفح السد مما يؤدي الى تقليل حجم الاملاكيات الترابية، وقد تبين

- [6] Kirra' M.S.' Shahien' M. Zeidan' B.A.; 2015;" Seepage and Slope Stability Analysis of Mandaly Earthen Dam' Iraq: A case study"; International Conference on Advances in Structural and Geotechnical Engineering ICASGE'15, 6-9 April 2015, Hurghada, Egypt.
- [7] Mishal U.R. , Khayyun T.Sh.; 2018; "Stability analysis of an earth dam using Geo-slope model under different soil condition"; Engineering and Technology Journal, vol.36, part A , no.5.
- [8] Salunkhe D. P., Chvan G., Bartakke R. N., Kothavale P.R.; 2017;" An Overview on Methods for Slope Stability Analysis"; International Journal of Engineering Research& Technology (IJERT); vol.6 Issue 03, ISSN:2278-0181.
- [9] SOGREAH Construction Engineers; 1982; AL-Qaim Dam Planning Report; vol. 1&2.
- [10] Andrew Graham. 1997. "World Wide Web Pages for Dam Design." Durham University. 1997.
<http://community.dur.ac.uk/~des0www4/cal/dams/fron/contents.htm>
- [11] Types of slope failures/Geotechnical engineering. <https://theconstructor.org/>
- [12] GEO-SLOPE International Ltd; July 2012 Edition; Stability Modeling with SLOPE/W; An Engineering Methodology' Calgary, Alberta, Canada T2P2Y5.

المصادر:

- [1] م. سمر عودة؛ 2015 ؛ "اهم المشاكل التي تتعرض لها السدود الترابية وكيفية مراقبتها"؛ مجلة جامعة البعث-المجلد 37-العدد 8.
- [2] Khattab S.A.A.; 2010; "Stability Analysis of Mosul Dam under saturated and unsaturated soil condition"; Al-Rafidain Engineering, vol.18 , No. 1.
- [3] Mandal T.,Sengupta S.; 2013;" Slope Stability Analysis By Static and Dynamic Method"; International conference on structural engineering and mechanics, Rourkela, India.
- [4] Gopal P., Kumar T.K.; 2014;" Slope Stability and seepage analysis of earthen dam of a summer storage tank: A case study by using different approaches"; International Journal of Innovative Research in Advanced Engineering (IJIRAE); Vol. 1; Issue 12; ISSN: 2349-2163.
- [5] Burman A., Acharya S.P., Sahay R.R. and Maity D.; 2015;" A Comparative Study of Slope Stability Analysis using Traditional Limit Equilibrium Method and Finite Element Method"; Asian Journal of Civil Engineering (BHRC) vol. 16, no. 4, pp.467-492.

Slope Stability Study of Al-Qaim Dam that Proposed to be Constructed on Khosar River – Case Study

Farah K. Saeed

f.saeed@uomosul.edu.iq

Kamel A. Al-Mohseen

k.almohseen@uomosul.edu.iq

Abdulwahab M. Yunis

gazaal@uomosul.edu.iq

Dams and Water Resources Engineering Department, Collage of Engineering, University of Mosul

Abstract:

It is extremely significant during the design stage of an earth dam is to analyze the seepage and slope stability. The proposed Al-Qaim dam on Al Khoser river was used as a case study to apply Geo-Studio 2012 program and its appendices Seep/w and Slope/w. Some minor modifications to the original design suggested by SOGREAH company have been proposed. The Geo-Studio 2012 program was used to analyze three states of Al-Qaim reservoir i.e. (end of construction, steady-state, and rapid drawdown). Seep/w and Slope/w have used to analyze the seepage and the stability of the slopes, the results reveal a good agreement between this analysis and the design company's results. Moreover, the present analysis achieves the requirement of safety with less volume of embankment which reduces the cost of construction substantially.

Key words:

Embankment dam, slope stability, Geo-Studio.